

DOI: https://doi.org/10.30898/1684-1719.2025.11.28

УДК: 544.225

ЭЛЕКТРОННЫЕ И МАГНИТНЫЕ СВОЙСТВА ДВУХКОМПОНЕНТНЫХ ТВЕРДЫХ РАСТВОРОВ Cr(Cl_xF_{1-x})₃

И.С. Лебедев ¹, А.В. Кудрявцев ¹, А.И. Карцев ^{1,2}, Е.Т. Мирзоева ¹,

¹МИРЭА – Российский технологический университет 119454, Москва, пр-т Вернадского 78
² Вычислительный центр ДВО РАН, 680063, Хабаровск, ул. Ким Ю Чена, 65

Статья поступила в редакцию 3 октября 2025 г.

Аннотация. В настоящей работе проведено исследование влияния легирования на электронные и магнитные свойства монослойного соединения $Cr(Cl_xF_{1-x})_3$ на основании расчета из первых принципов. В ходе работы рассчитаны плотности электронных состояний, значения ширины запрещенной зоны, постоянные кристаллической решетки и разности полных энергий для ферромагнитной и антиферромагнитной конфигураций при различных взаимных концентрациях атомов хлора и фтора. Расчеты выполнены в рамках метода теории функционала плотности с поправкой Хаббарда, учитывающей сильную локализацию d-электронов хрома, а варьирование состава реализовано методом виртуального кристалла. Получено, что исследуемые материалы сохраняют полупроводниковый характер для всего диапазона дольного коэффициента х, при этом ширина запрещенной зоны изменяется от 2.30 до 2.94 эВ, а постоянная решетки – от 5.74 до 6.04 Å. Установлено, что для всех соотношений исследованных элементов В составе твердого энергетически наиболее выгодным является ферромагнитное состояние. антиферромагнитной Разность энергий между И ферромагнитной

конфигурациями изменяется немонотонно, что связано с различной степенью вклада обменных взаимодействий при изменении состава. Полученные результаты указывают на возможность управления электронными и магнитными свойствами путем изменения состава твердого раствора, что делает данный класс материалов перспективным для применения в спинтронике и магнитооптических устройствах.

Ключевые слова: двумерный магнетизм, твердые растворы, теория функционала плотности, плотность электронных состояний, ферромагнетизм, антиферромагнетизм.

Финансирование: Работа выполнена при поддержке Российского научного фонда (грант № 25-23-20239).

Автор для переписки: Кудрявцев Андрей Владимирович, kudryavcev_a@mirea.ru

Введение

С открытия дальнего ферромагнитного (ФМ) порядка в монослойных соединениях CrI_3 и $Cr_2Ge_2Te_6$ началось стремительное исследование двумерных магнитных материалов. Интерес исследователей к материалам данного класса вызван перспективами их применения в устройствах микро- и наноэлектроники, в том числе в спинтронике [1, 2]. Ключевой особенностью таких материалов является возможность настройки их физических параметров различными методами, что открывает возможности для точного управления магнитными свойствами. В частности, к таким методам относятся деформационная инженерия, легирование и молекулярное осаждение [3-5]. По мере исследования двумерных магнетиков ФМ порядок был обнаружен в двумерных металлических соединениях Fe_xGeTe_2 (x=3, 4, 5) и Fe_3GaTe_2 . В свою очередь, в серии монослойных материалов был обнаружен антиферромагнитный (АФМ) порядок, например, в соединениях типа MPS_3 (M=Fe, Mn, Ni) [6-10]. Кроме того, наряду с хорошо изученным CrI_3 [1,2,11] активно исследуются другие двумерные магнетики аналогичной структуры, представляющие собой соединение металла

с галогеном. Так, например, в работе [12] производился расчет двумерного CeI₃, сочетающего люминесцентные и магнитные свойства. Также интересным материалом в данном контексте является CrCl₃ являющийся антиферромагнетиком в объемной фазе, но обладающий ФМ упорядочением при уменьшении толщины до монослоя [13].

Одним из эффективных методов управления характеристиками твердых растворов является легирование. Данный метод оказался особенно эффективным в случае дихалькогенидов переходных металлов (ДПМ). Так, варьирование концентрации примесей позволило в том числе осуществить переход из немагнитного в ФМ упорядочение [14, 15]. Свое применение этот метод нашел и в двумерных ван-дер-ваальсовых магнитах. Например, изменение дольного коэффициента x в твердом растворе $CrCl_{3-x}Br_x$ приводит к перераспределению спинов в структуре и изменению осей легкого намагничивания, что сопровождается переходом от XY-анизотропии в $CrCl_3$ к анизотропии типа Изинга в $CrBr_3$ [16]. В свою очередь, в соединениях $CrSBr_{1-x}Cl_x$ (x = 0 - 0.67) добавление атомов Cl значительно влияет на параметры решетки и магнитные взаимодействия и приводит к снижению магнитной анизотропии и уменьшению температуры Нееля (T_N). Этот процесс сопровождается фазовым переходом от межслоевого $A\Phi M$ упорядочения, характерного для чистого CrSBr, к ΦM в чистом CrSCl [17].

В данной работе рассматривается изменение физических свойств, в частности, типа магнитного упорядочения в монослойных твердых растворах $Cr(Cl_xF_{1-x})_3$ в зависимости от степени легирования атомами Cl (изменения дольного коэффициента x). Параметры материала рассчитаны на основе метода теории функционала плотности (ТФП). А также обсуждаются возможности дальнейшего использования полученных результатов.

1. Методика расчета

В качестве основного программного пакета для расчета монослоев твердых растворов $Cr(Cl_xF_{1-x})_3$ был использован VASP (Vienna ab-initio Simulation Package), позволяющий реализовать теорию функционала плотности с учетом поляризации по спину. Энергия обрезания плоских волн для такого соединения была выбрана равной 420 эВ. Релаксация параметров ячейки проводилась в рамках GGA-приближения (Generalized gradient approximation — обобщенное градиентное приближение) с использованием обменно-корреляционного функционала типа PBE (Perdew — Burke — Ernzerhod) [18]. Ионная релаксация системы проводилась до значений энергии 10^{-5} эВ/атом. Электронная релаксация через самосогласование уравнений Кона-Шэма проводилась до значений энергии 10^{-6} эВ/атом. Для исключения взаимодействия между слоями в рамках трехмерных граничных условий выбранного пакета моделирования было введено псевдовакуумное пространство толщиной 21 Å.

Для расчета монослойного $Cr(Cl_xF_{1-x})_3$ была сгенерирована суперъячейка размером 2×2. Интегрирование по первой зоне Бриллюэна было реализовано с использованием Γ -центрированной сетки k-точек размером $21 \times 21 \times 1$ в рамках метода тетраэдра с поправкой Блоха. Для моделирования изменения степени легирования (варьирования концентраций Cl и F) использовалось приближение виртуального кристалла (VCA – Virtual crystal approximation) [19]. Суть данного приближения заключается в расчете кристалла, сохраняющего исходную периодичность, но состоящего из «виртуальных» атомов, чьи свойства представляют собой интерполяцию свойств атомов в составе соединений. Для расчета электронной структуры исследуемого соединения, в частности, плотностей электронных состояний (ПЭС) был реализован метод DFT+U, предложенный в работе [20]. Метод DFT+U включает в себя учет кулоновского взаимодействия локализованных d- и f-электронов с помощью поправки Хаббарда (U), что позволяет корректно описывать магнитные структуры, в том числе и структуры на основе Cr. Так, для монослойного $Cr(Cl_xF_{1-x})_3$ значение U

было принято равным 2.63 эВ в соответствии со значением, полученным с помощью линейного отклика для двумерного CrCl₃ [21].

2. Результаты и их обсуждение

На рис. 1 представлена суперъячейка 2×2 монослойного $Cr(Cl_xF_{1-x})_3$. Атомы хрома обозначены синим цветом, атомы хлора или фтора — зеленым. Суперъячейка 2×2 содержит 8 атомов Cr и в сумме 24 атома Cl и F. Атомы Cr, окруженные атомами Cl и/или F, образуют двумерную гексагональную решетку с параметрами a=b=6.09 Å для случая $CrCl_3$ (x=1) и a=b=5.73 Å для случая CrF_3 (x=0).

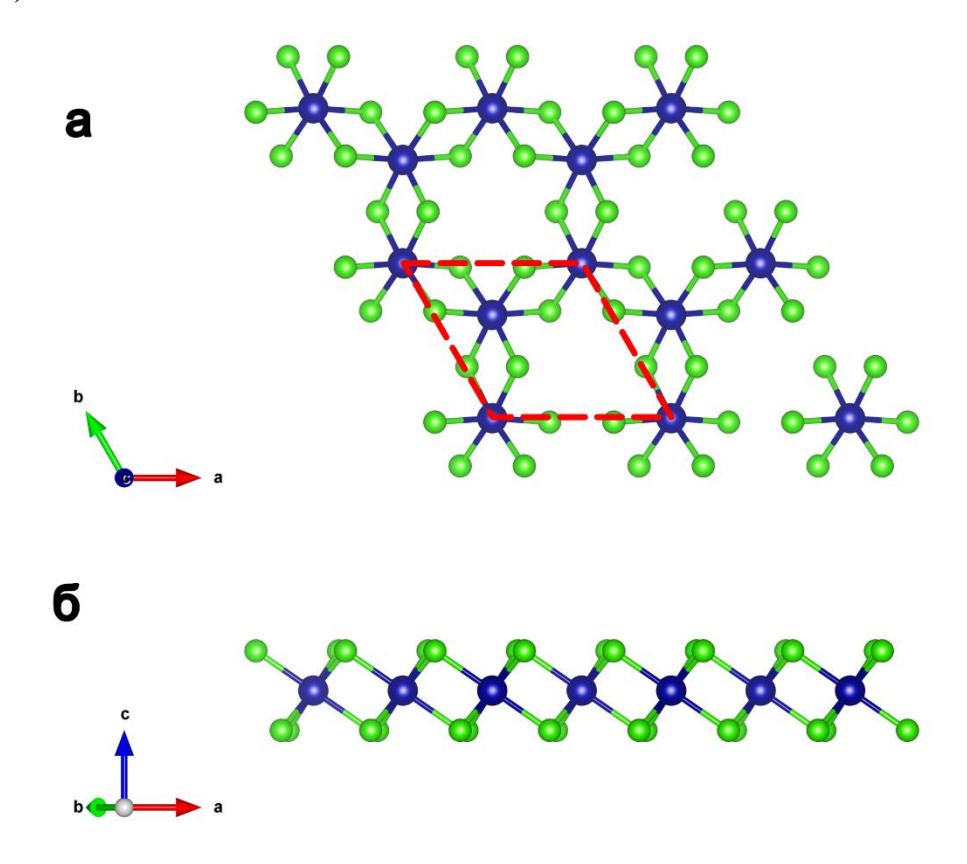


Рис. 1. Монослой $Cr(Cl_xF_{1-x})_3$: вид сверху (а), вид сбоку (б); атомы хрома обозначены синим, хлора и фтора — зеленым. Элементарная ячейка отмечена красной пунктирной линией.

На рис. 2-5 представлены полученные в рамках теории функционала плотности зависимости парциальных и полной плотностей электронных состояний от энергии для Φ М-конфигурации. Парциальные ПЭС приведены для d-оболочек атомов Cr (рис. 2) и p-оболочек атомов Cl (рис. 3) и F (рис. 4).

На каждом из графиков представлены зависимости для значений x = 0.2, 0.4, 0.6 и 0.8 для двух проекций спина на ось квантования («спин вверх» и «спин вниз»).

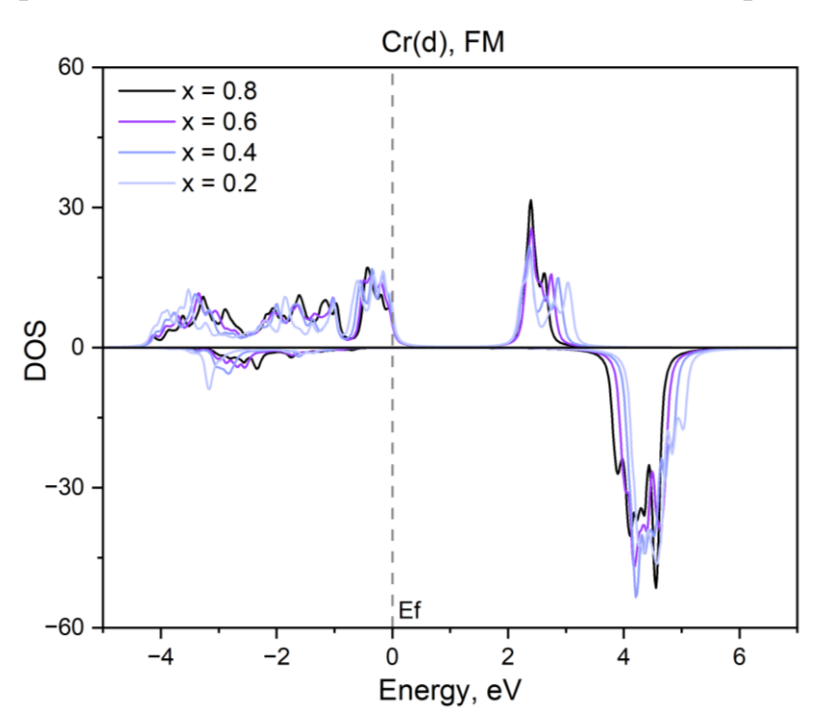


Рис. 2. Парциальная плотность электронных состояний для d-состояний хрома в ФМ конфигурации монослоя $Cr(Cl_xF_{1-x})_3$ для значений дольного коэффициента x, равных 0.2, 0.4, 0.6 и 0.8.

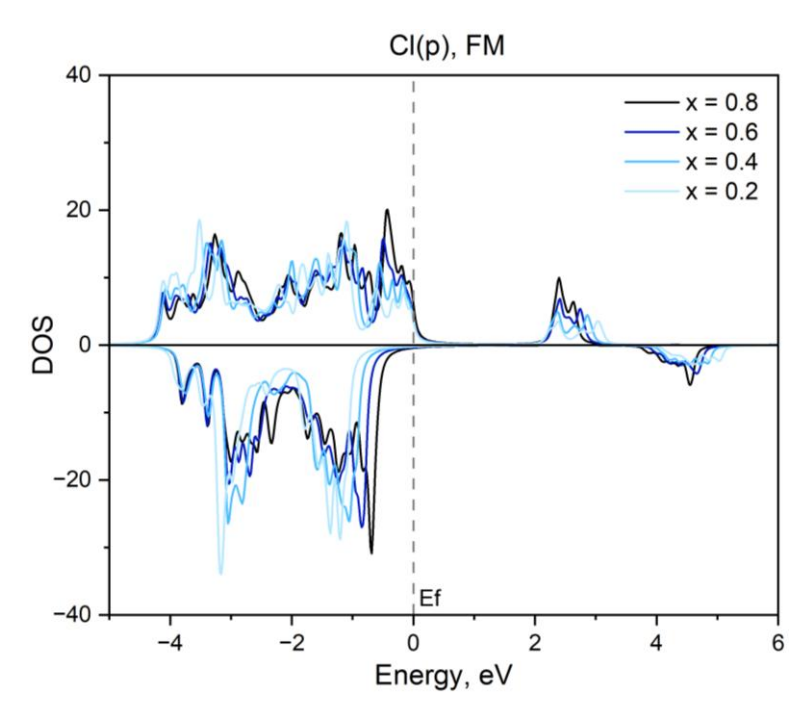


Рис. 3. Парциальная плотность электронных состояний для p-состояний хлора в ФМ конфигурации монослоя $Cr(Cl_xF_{1-x})_3$ для значений дольного коэффициента x, равных 0.2, 0.4, 0.6 и 0.8.

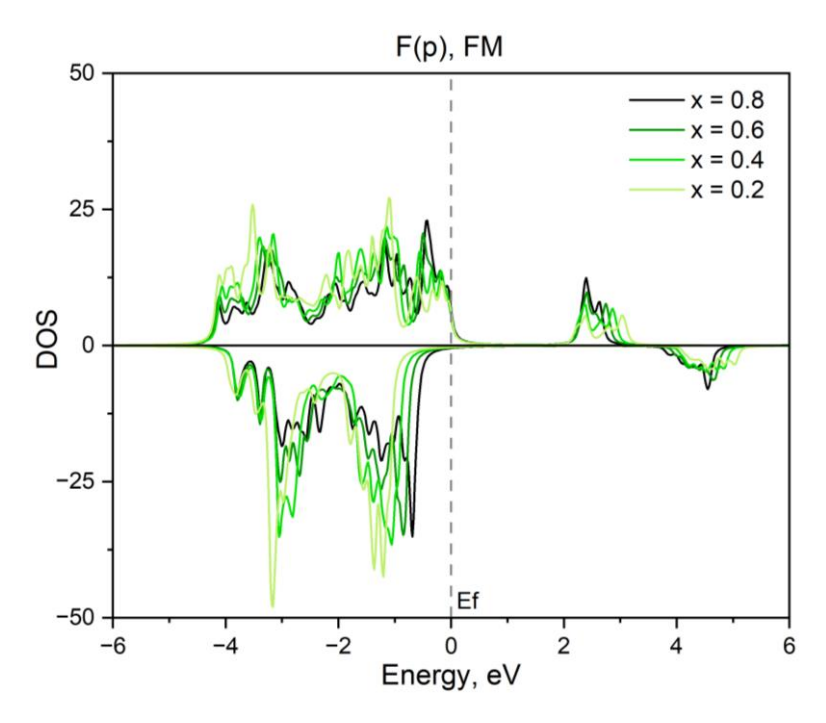


Рис. 4. Парциальная плотность электронных состояний для p-состояний фтора в ФМ конфигурации монослоя $Cr(Cl_xF_{1-x})_3$ для значений дольного коэффициента x, равных 0.2, 0.4, 0.6 и 0.8.

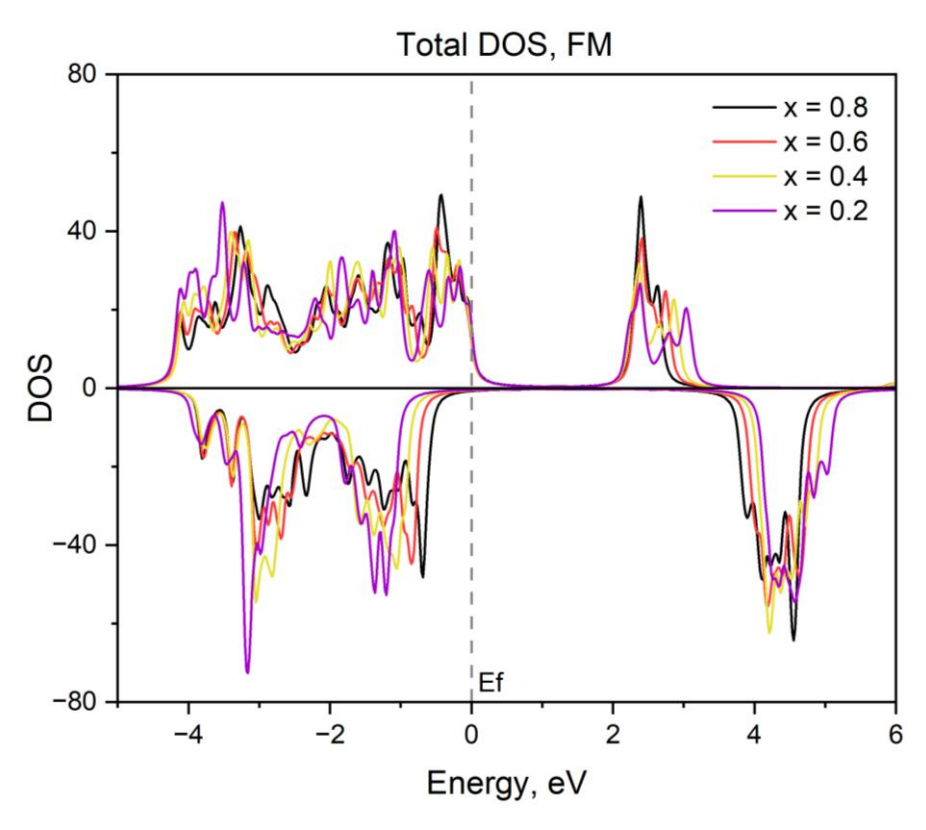


Рис. 5. Полная плотность электронных состояний в ФМ конфигурации монослоя $Cr(Cl_xF_{1-x})_3$ для значений дольного коэффициента x, равных 0.2, 0.4, 0.6 и 0.8.

Представленные зависимости ПЭС имеют характерный для ФМ упорядочения антисимметричный вид. За магнетизм в структуре отвечают электроны не полностью заполненных внешних оболочек. Так, наибольший относительный вклад в магнетизм в данном соединении вносят d-электроны хрома, что согласуется с его магнитной природой. В диапазоне энергий от 0 до 2.4 эВ наблюдается характерная для полупроводников запрещенная зона, что соответствует экспериментальным данным для чистых монослоев $CrCl_3$ (x = 1) CrF_3 (x = 0) [22,23]. С уменьшением x можно наблюдать небольшие сдвиги парциальных и полной ПЭС относительно E_F (E = 0) и размытие участка на 2 - 3 эВ, что влечет за собой уменьшение ширины запрещенной зоны (E_g) в монослое.

На рис. 6 — 9 представлены аналогичные зависимости парциальных и полной плотностей электронных состояний от энергии для AФM конфигурации.

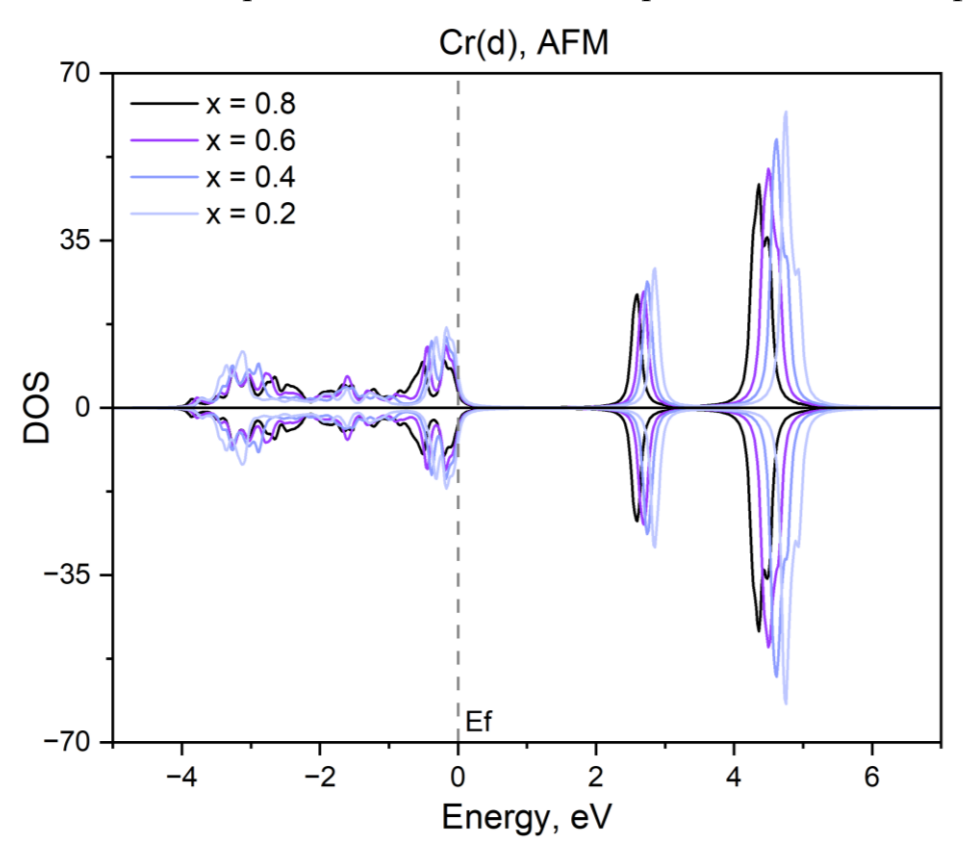


Рис. 6. Парциальная плотность электронных состояний для d-состояний хрома в АФМ конфигурации монослоя $Cr(Cl_xF_{1-x})_3$ для значений дольного коэффициента x, равных 0.2, 0.4, 0.6 и 0.8.

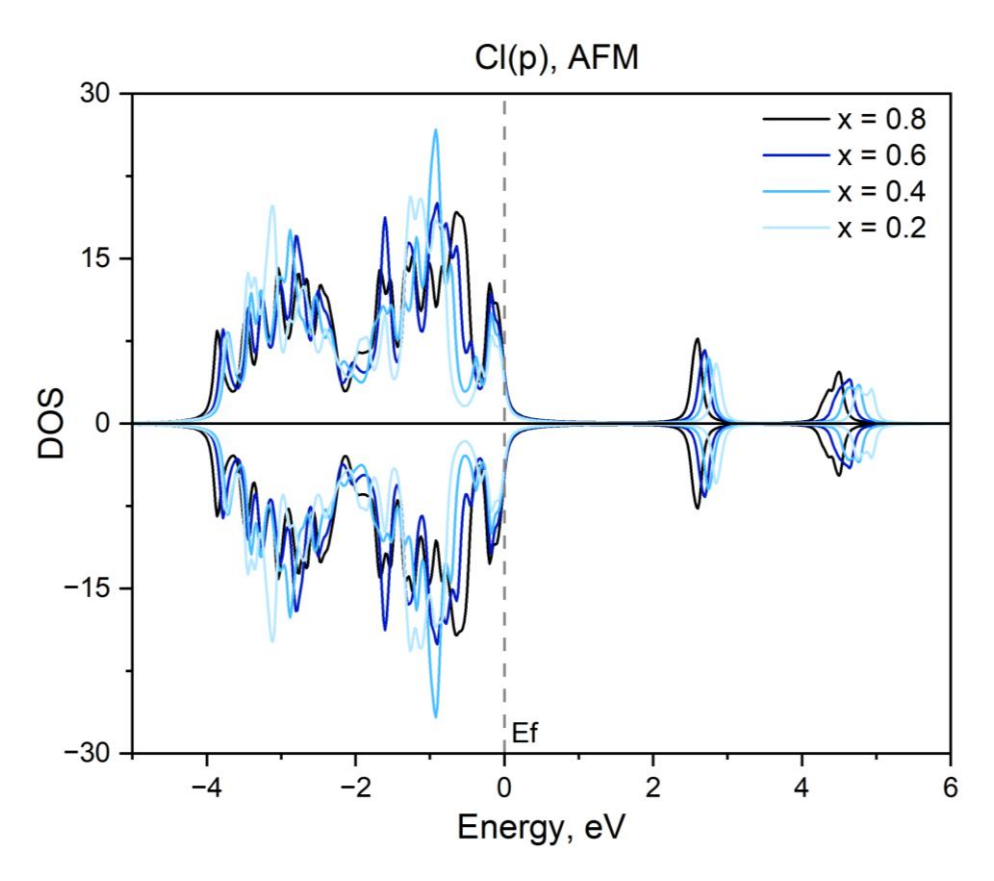


Рис. 7. Парциальная плотность электронных состояний для p-состояний хлора в АФМ конфигурации монослоя $Cr(Cl_xF_{1-x})_3$ для значений дольного коэффициента x, равных 0.2, 0.4, 0.6 и 0.8.

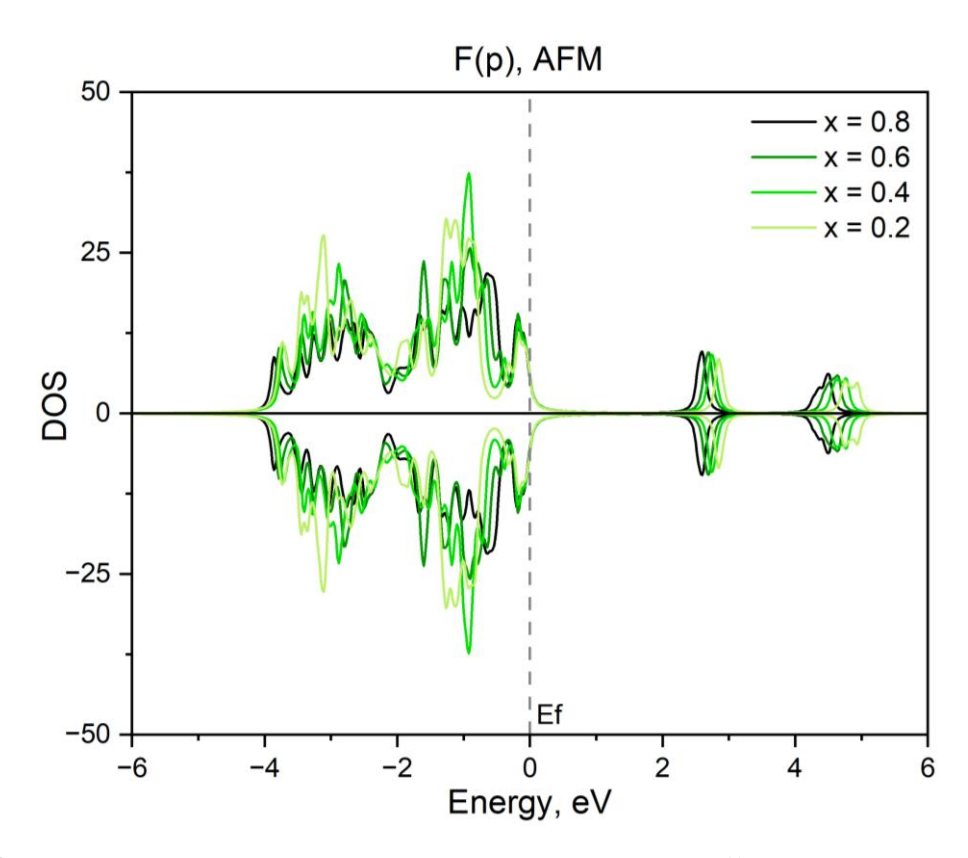


Рис. 8. Парциальная плотность электронных состояний для p-состояний фтора в АФМ конфигурации монослоя $Cr(Cl_xF_{1-x})_3$ для значений дольного коэффициента x, равных 0.2, 0.4, 0.6 и 0.8.

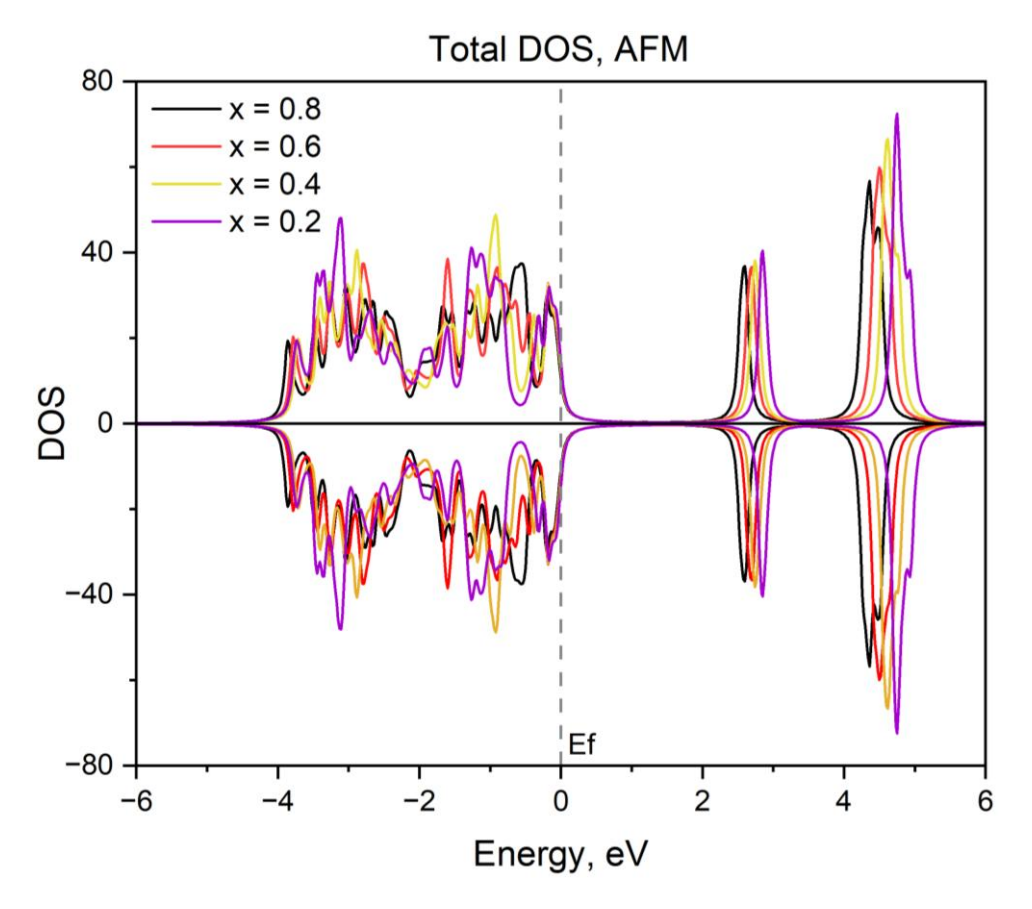


Рис. 9. Полная плотность электронных состояний в ФМ конфигурации монослоя $Cr(Cl_xF_{1-x})_3$ для значений дольного коэффициента x, равных 0.2, 0.4, 0.6 и 0.8.

В случае АФМ конфигурации d-орбитали хрома вносят еще больший вклад в магнетизм в структуре относительно p-орбиталей хлора и фтора. Однако с уменьшением x сдвиг ПЭС относительно E_F и сужение пика, соответствующего энергиям 2-3 эВ, в отличие от случая ФМ конфигурации влечет увеличение E_g .

Для более подробного анализа изменения ширины запрещенной зоны были построены зависимости $E_g(x)$ как для ΦM , так и для $A\Phi M$ конфигураций. Данные зависимости представлены на рис. 10.

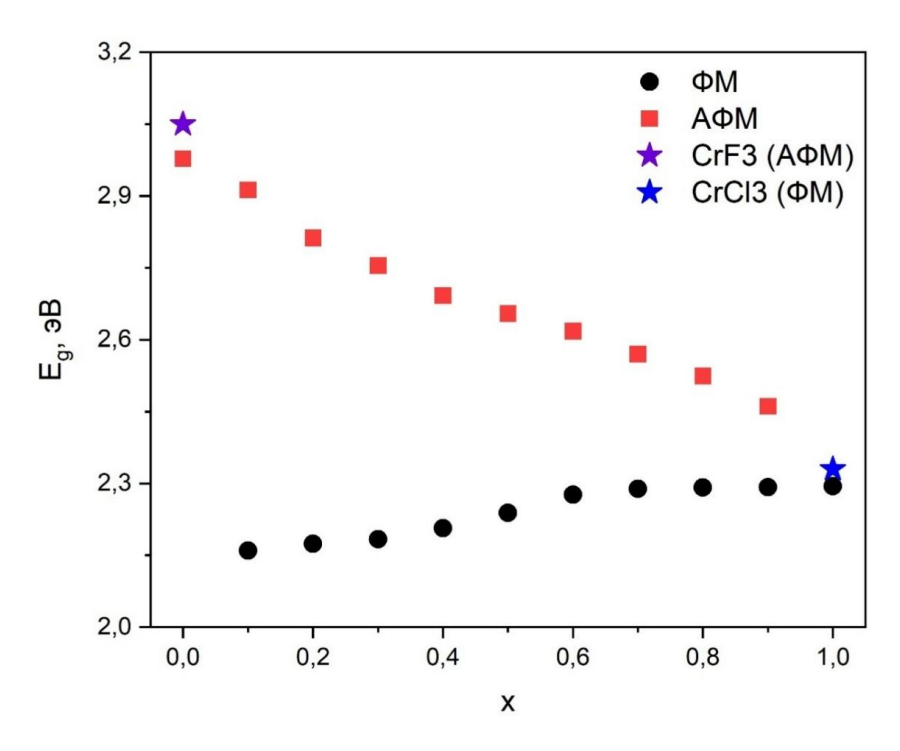


Рис. 10. Расчетные зависимости ширины запрещенной зоны монослоя $Cr(Cl_xF_{1-x})_3$ от дольного коэффициента x: красные квадраты — $A\Phi M$ конфигурация, черные точки — ΦM конфигурация. Звездообразными символами.

На рис. 10 черными кружками обозначены значения E_g для ΦM конфигурации, красными квадратами АФМ конфигурации. ДЛЯ Звездообразными обозначены экспериментально символами измеренные значения E_g для чистых монослоев CrCl₃ и CrF₃ [22,23]. В Таблице 1 приведено данных экспериментальных значений co значениями рассчитанными в работе. Как можно видеть, данные значения хорошо согласуются между собой. Различие между расчетными и экспериментальными значениями составляет не более 4 процентов.

Таблица 1. Значения ширины запрещенной зоны E_g для монослоев $CrCl_3$ и CrF_3 : E_{g}_{calc} — расчетные значения, E_{g}_{exp} — экспериментальные значения из литературных данных.

	$E_{g_{calc}}$, $_{9}\mathrm{B}$	E_{g} , $_{exp}$, $_{_{}}$ B
CrCl ₃ (ФМ)	2.30 эВ	2.33 эВ [22]
CrF ₃ (AФM)	2.94 эВ	3.05 эВ [23]

Для каждой из конфигураций зависимость $E_g(x)$ является монотонной, при этом для ФМ конфигурации зависимость является возрастающей, а для АФМ конфигурации — убывающей. Монотонный характер зависимости согласуется с законом Вегарда — эмпирическим правилом о линейной зависимости ширины запрещенной зоны и постоянной решетки от дольного коэффициента x для трехкомпонентного твердого раствора. Для $Cr(Cl_xF_{1-x})_3$ правило Вегарда для E_g можно описать с помощью соотношения

$$E_{g}\left(Cr\left(Cl_{x}F_{1-x}\right)_{3}\right) = xE_{g}\left(CrCl_{3}\right) + (1-x)E_{g}\left(CrF_{3}\right) - bx(1-x), \tag{1}$$

где b — параметр нелинейности, зависящий от разницы периодов кристаллических решеток чистых соединений (CrCl₃ и CrF₃).

На рис. 11 представлена зависимость постоянной решетки *а* от коэффициента *х* для каждой из двух конфигураций. Обе зависимости являются монотонно возрастающими, что также соответствует правилу Вегарда для трехкомпонентных растворов. Рассчитанные значения постоянной решетки для чистых растворов согласуются с экспериментальными данными [23,24]. Обе зависимости являются почти идентичными, что отражает ожидаемо слабое влияние магнетизма на кристаллическую структуру монослоев.

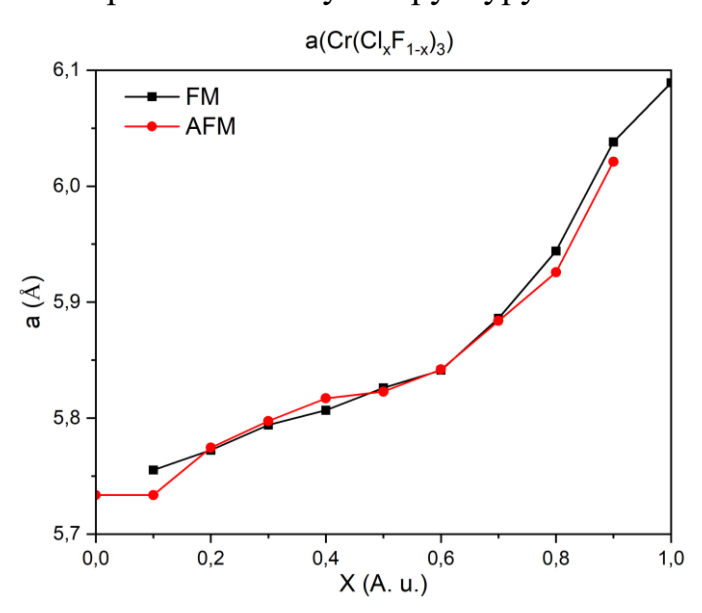


Рис. 11. Расчетные зависимости постоянной решетки монослоя $Cr(Cl_xF_{1-x})_3$ от коэффициента x: красная линия — $A\Phi M$ конфигурация, черная линия — ΦM конфигурация.

Для определения типа магнитного упорядочения, соответствующего основному состоянию для различных значений x, для каждой из двух конфигураций были рассчитаны полные энергии системы. Расчеты проводились для значений x с шагом 0.1 в диапазоне от 0 до 1. Для каждого из этих значений x была рассчитана разность полный энергий ΔE в соответствии с выражением

$$\Delta E = E_t(AFM) - E_t(FM), \qquad (2)$$

где $E_t(AFM)$ — полная энергия для АФМ упорядочения, $E_t(FM)$ — полная энергия для ФМ упорядочения. Поскольку основному состоянию системы соответствует состояние с минимальной энергией, то для системы с АФМ основным состоянием значение ΔE отрицательно, а для системы, у которой основным состоянием является состояние с ФМ порядком, значение ΔE положительно. На рис. 12 представлена расчетная зависимость $\Delta E(x)$.

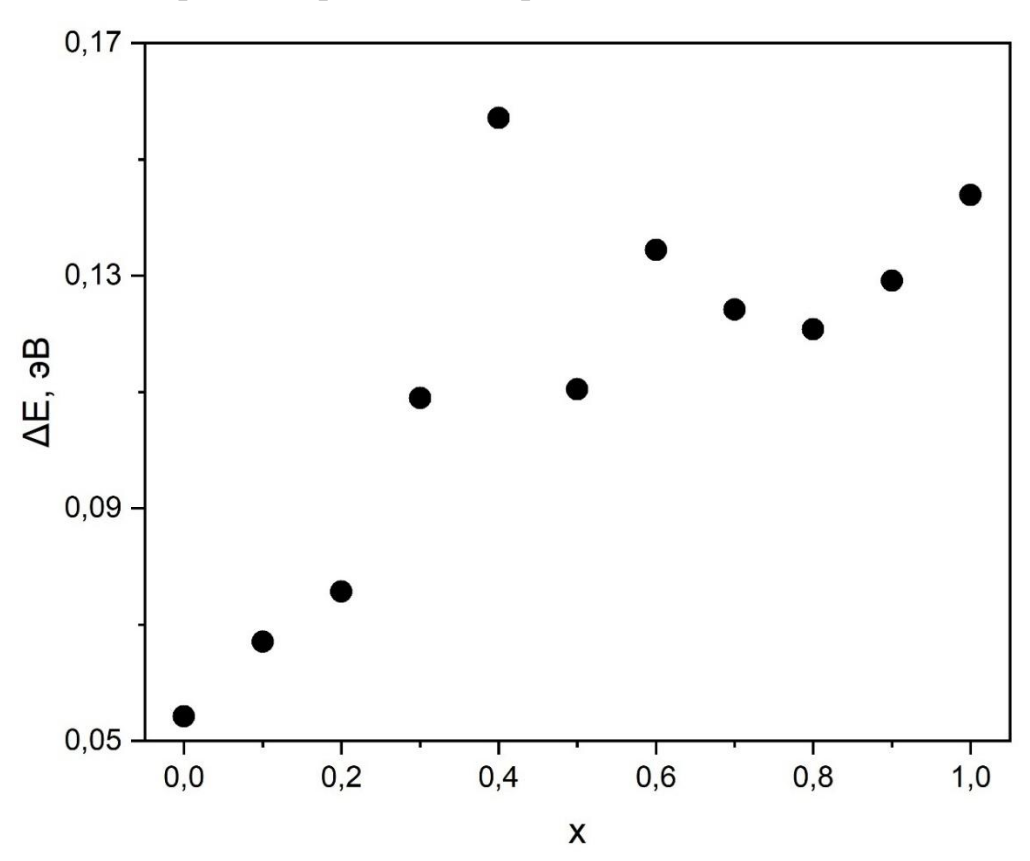


Рис. 12 — Зависимость разницы полных энергий ΔE АФМ- и ФМ- конфигураций $Cr(Cl_xF_{1-x})_3$ от дольного коэффициента х.

Как можно видеть на рис. 12, во всем диапазоне x значения ΔE положительны, то есть в соответствии с представленным расчетом во всем диапазоне значений x исследуемые твердые растворы ферромагнитны. Такое поведение может быть обусловлено наличием ФМ-фазы в двумерном CrF_3 , продемонстрированное в работе [24]. Немонотонность данной зависимости обусловлена изменением вкладов различных типов взаимодействия при изменении x. При этом рассчитанные и экспериментальные значения постоянной решетки в зависимости от соотношения концентраций атомов хлора и фтора в соединении сходятся в пределах погрешности, что говорят о корректности представленного расчета.

Заключение

На основании расчетов из первых принципов в ходе данной работы было исследовано влияние легирования на электронную структуру, магнитные свойства и параметры решетки монослойного соединения $Cr(Cl_xF_{1-x})_3$. Исследованный материал, как и ожидалось, является полупроводником с величиной ширины запрещенной зоны от 2.30 до 2.94 эВ и постоянной кристаллической решетки от 5.74 Å до 6.04 Å для разных значений x. Зависимости ширины запрещенной зоны и параметров решетки от дольного коэффициента твердого раствора согласуются с теоретической моделью Вегарда: наблюдается монотонная зависимость, характер которой определяется типом магнитного упорядочения. Кроме того, рассчитанные значения параметров для чистых соединений находятся в хорошем согласии с экспериментальными данными.

Для всех рассмотренных значений дольного коэффициента основной является ферромагнитная конфигурация. Полученный результат указывает на отсутствие точки перехода между различными типами магнитного упорядочения. Подобное поведение может быть связано с существованием ферромагнитной фазы в двумерном CrF_3 (x=0), что подтверждается результатами предыдущих экспериментальных исследований.

Зависимость разности полных энергий антиферромагнитной и ферромагнитной конфигурации для соответствующих значений дольного коэффициента носит немонотонный характер, что связано с переменным вкладом различных видов взаимодействия с изменением дольного коэффициента.

Полученные результаты могут быть применены для конструирования и оптимизации приборов спинтроники: возможность гибкой настройки значений ширины запрещенной зоны и параметров решетки позволяет использовать данный трехкомпонентный раствор в гетероструктурах для магнитных туннельных переходов, спиновых транзисторов и др. Также, величина ширины запрещенной зоны, характерная для широкозонных полупроводников, в сочетании с собственным магнетизмом материала делает его перспективным для использования в магнитооптических устройствах.

Финансирование: Работа выполнена при поддержке Российского научного фонда (грант № 25-23-20239).

Литература

- Huang B. et al. Layer-dependent ferromagnetism in a van der Waals crystal down to the monolayer limit // Nature. – 2017. – T. 546. – № 7657. – C. 270–273. https://doi.org/10.1038/nature22391
- 2. Gong C. et al. Discovery of intrinsic ferromagnetism in two-dimensional van der Waals crystals // Nature. 2017. T. 546. № 7657. C. 265–269. https://doi.org/10.1038/nature22060
- 3. Ruiz A.M., Baldovi J.J. Switchable magnetic phases in CrSBr₁-_xCl_x and CrSBr/CrSCl heterostructures // Arxiv Mat. Sci. 2024. https://doi.org/10.48550/arXiv.2412.19136

- 4. Qi Y. et al. Recent progress in strain engineering on van der Waals 2D materials: tunable electrical, electrochemical, magnetic, and optical properties // Adv. Mater. 2023. T. 35. https://doi.org/10.1002/adma.202205714
- 5. Pawbake A. et al. Magneto-optical sensing of the pressure-driven magnetic ground states in bulk CrSBr // Nano Lett. 2023. T. 23. C. 9587–9593. https://doi.org/10.1021/acs.nanolett.3c03216
- 6. Zhang G. et al. Above-room-temperature strong intrinsic ferromagnetism in 2D van der Waals Fe₃GaTe₂ with large perpendicular magnetic anisotropy // Nat. Commun. 2022. T. 13. C. 5067. https://doi.org/10.1038/s41467-022-32605-5
- 7. May A.F. et al. Ferromagnetism near room temperature in the cleavable van der Waals crystal Fe₅GeTe₂ // ACS Nano. 2019. T. 13. C. 4436–4442. https://doi.org/10.1021/acsnano.8b09660
- 8. Lee J.-U. et al. Ising-type magnetic ordering in atomically thin FePS₃ // Nano Lett. 2016. T. 16. C. 7433–7438. https://doi.org/10.1021/acs.nanolett.6b03052
- 9. Long G. et al. Persistence of magnetism in atomically thin MnPS₃ crystals // Nano Lett. 2020. T. 20. C. 2452–2459. https://doi.org/10.1021/acs.nanolett.9b05165
- 10. Kim K. et al. Suppression of magnetic ordering in XXZ-type antiferromagnetic monolayer NiPS₃ // Nat. Commun. 2019. T. 10. C. 345. https://doi.org/10.1038/s41467-018-08284-6
- 11. Lado J.L., Fernández-Rossier J. On the origin of magnetic anisotropy in two dimensional CrI3 // 2D Materials. 2017. T. 4. №. 3. C. 035002. https://doi.org/10.1088/2053-1583/aa75ed
- 12. Мирзоева Е.Т., Кудрявцев А.В. Первопринципный расчет электронной структуры монослоя CeI3 // Russian Technological Journal. 2025. Т. 13. №. 4. С. 47-54. https://doi.org/10.32362/2500-316X-2025-13-4-47-54
- 13. Bedoya-Pinto A. et al. Intrinsic 2D-XY ferromagnetism in a van der Waals monolayer // Nat. Phys. 2021. T. 17. № 6. C. 687–691. https://doi.org/10.1126/science.abd5146

- 14. Xie L.M. Two-dimensional transition metal dichalcogenide alloys: preparation, characterization and applications // Nanoscale. 2015. T. 7. C. 18392–18401. https://doi.org/10.1039/c5nr05712d
- 15. Lin Y., Torsi R., Geohegan D.B., Robinson J.A., Xiao K. Controllable thin-film approaches for doping and alloying transition metal dichalcogenides monolayers // Adv. Sci. 2021. T. 8. https://doi.org/10.1002/advs.202004249
- 16. Abramchuk M. et al. Controlling magnetic and optical properties of the van der Waals crystal CrCl₃-_xBr_x via mixed halide chemistry // Adv. Mater. 2018.
 T. 30. https://doi.org/10.1002/adma.201801325
- 17. Telford E.J. et al. Designing magnetic properties in CrSBr through hydrostatic pressure and ligand substitution // Adv. Phys. Res. 2023. T. 2. https://doi.org/10.1002/apxr.202300036
- 18. Perdew J.P., Burke K., Ernzerhof M. Generalized gradient approximation made simple // Phys. Rev. Lett. 1996. T. 77. C. 3865–3868. https://doi.org/10.1103/PhysRevLett.77.3865
- 19. Eckhardt C., Hummer K., Kresse G. Indirect-to-direct gap transition in strained and unstrained Sn_xGe₁−_x alloys // Phys. Rev.B. 2014. T. 89. № 165201. https://doi.org/10.1103/PhysRevB.89.165201
- 20. Dudarev S.L., Botton G.A., Savrasov S.Y., Humphreys C.J., Sutton A.P. Electronenergy-loss spectra and the structural stability of nickel oxide: an LSDA+U study // Phys. Rev.B. − 1998. − T. 57. − № 3. − C. 1505–1509. https://doi.org/10.1103/PhysRevB.57.1505
- 21. Liu J., Sun Q., Kawazoe Y., Jena P. Exfoliating biocompatible ferromagnetic Cr trihalide monolayers // Phys. Chem. Chem. Phys. 2016. T. 18. C. 8777–8784. https://doi.org/10.1039/c5cp04835d
- 22. Froeschke S. et al. Structural and magnetic transitions caused by dimer formation in the CrCl₃–MoCl₃ solid solution // Chem. Mater. 2024. T. 36. https://doi.org/10.1021/acs.chemmater.3c03109

- 23. Chen X. et al. Discovery of an ultrastable antiferromagnetic two-dimensional CrF₃ phase with anisotropic quasi-one-dimensional mechanical, electronic, and thermal properties // Phys. Rev.B. 2025. T. 111. https://doi.org/10.1103/PhysRevB.111.155425
- 24. Zhang W.B. et al. Robust intrinsic ferromagnetism and half semiconductivity in stable two-dimensional single-layer chromium trihalides // J. Mater. Chem.C. 2015. T. 3. C. 12457–12468. https://doi.org/10.1039/C5TC02840J

Для цитирования:

Лебедев И.С., Кудрявцев А.В., Карцев А.И., Мирзоева Е.Т. Электронные и магнитные свойства двухкомпонентных твердых растворов $Cr(Cl_xF_{1-x})_3$ // Журнал радиоэлектроники. – 2025. – №. 11. https://doi.org/10.30898/1684-1719.2025.11.28